

第三章 模拟退火算法

simulated annealing

清华大学数学科学系
邢文训

wxing@tsinghua.edu.cn

Tel: 62787945

答疑：周四下午4：00-5：00

基本思想

- * 思想来源于1953年Metropolis的相同概念。
- * 1983年Kirkpatrick成功地应用在组合最优化问题。
- * 是局部搜索算法的扩展，它不同于局部搜索之处是以一定的概率选择邻域中费用值大的状态。
- * 从理论上来说，该算法被证明是一个全局最优算法。

主要内容

- * 模拟退火算法及模型
- * 马尔可夫链
- * 时齐算法的收敛性
- * 非时齐算法收敛性简介
- * 实现的技术问题
- * 应用实例——下料问题

3.1模拟退火算法及模型

应用问题

$$\min f(x)$$

$$s.t. \ g(x) \geq 0,$$

$$x \in D.$$

退火：金属物体在加热至一定的温度后，它的所有分子在状态空间 D 中自由运动。随着温度的下降，这些分子逐渐停留在不同的状态。在温度最低时，分子重新以一定的结构排列，分子停留在能量最低状态的可能性最大。

统计力学结论：在温度 T ，分子停留在状态 r 满足波兹曼(Boltzmann)概率分布

$$\Pr\{\bar{E} = E(r)\} = \frac{1}{Z(T)} \exp\left(-\frac{E(r)}{k_B T}\right)$$

概率分布的特性

$$\Pr\{\bar{E} = E(r)\} = \frac{1}{Z(T)} \exp\left(-\frac{E(r)}{k_B T}\right) \quad Z(T) = \sum_{s \in D} \exp\left\{-\frac{E(s)}{k_B T}\right\}$$

1) 当温度 T 相当高时，概率分布使得每个状态的概率基本相同，接近平均值 $1/|D|$ ， $|D|$ 为状态空间 D 中状态的个数。

$$\Pr(\bar{E} = E_1) - \Pr(\bar{E} = E_2) = \frac{1}{Z(T)} \exp\left(-\frac{E_1}{k_B T}\right) [1 - \exp\left(-\frac{E_2 - E_1}{k_B T}\right)]$$

当 $E_1 < E_2$ 时 $\Pr(\bar{E} = E_1) - \Pr(\bar{E} = E_2) > 0, \forall T > 0$

2) 在同一个温度，分子停留在能量小的状态的概率比停留在能量大的状态的概率要大。

$$\frac{d \Pr\{\bar{E} = E(r)\}}{dT} = \frac{\exp\left\{-\frac{E(r)}{k_B T}\right\}}{Z(T)k_B T^2} \left(E(r) - \frac{\sum_{s \in D} E(s) \exp\left\{-\frac{E(s)}{k_B T}\right\}}{Z(T)} \right)$$

$$\frac{d \Pr\{\bar{E} = E(r_{\min})\}}{dT} < 0$$

3) D 中最低能量的状态的概率分布关于温度 T 是单调下降的。

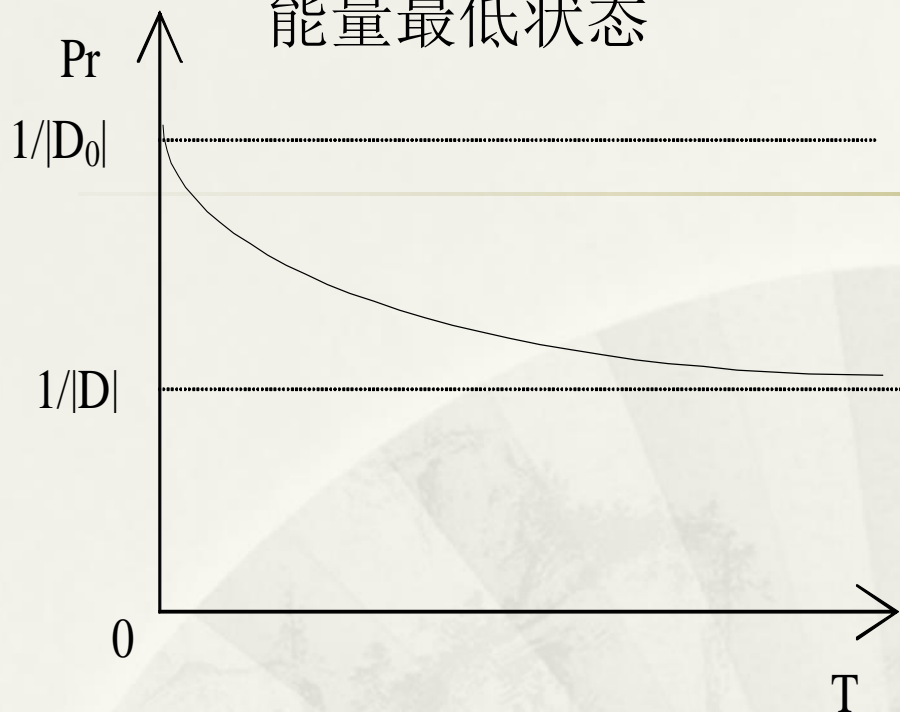
$$\Pr\{\bar{E} = E(r_{\min})\} = \frac{1}{Z(T)} \exp\left(-\frac{E(r_{\min})}{k_B T}\right) = \frac{1}{|D_0| + R}$$

$$R = \sum_{s \in D: E(s) > E(r_{\min})} \exp\left(-\frac{E(s) - E(r_{\min})}{k_B T}\right) \rightarrow 0, \quad T \rightarrow 0$$

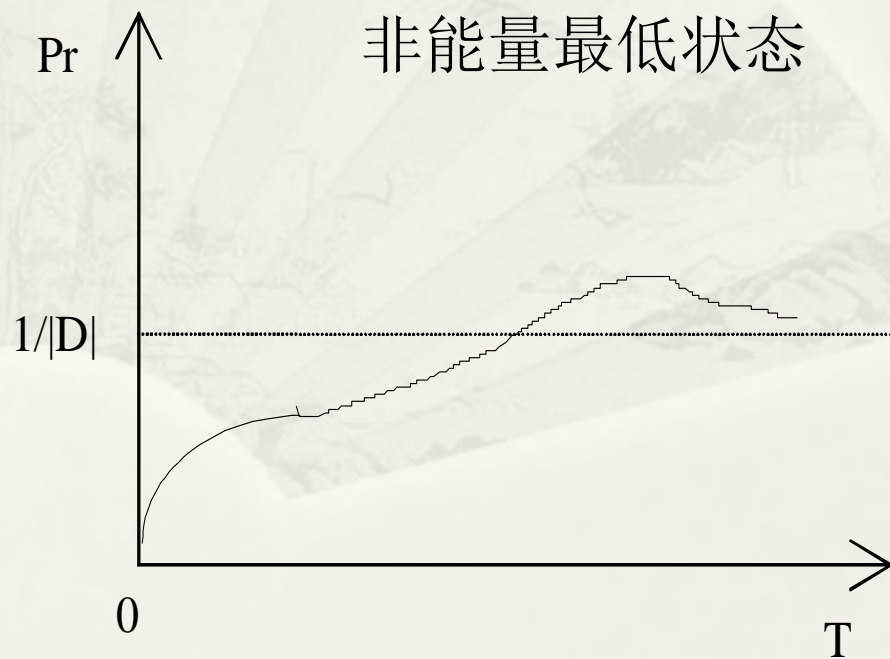
4) 最低能量的状态集合记为 D_0 ，当 T 趋向于0时，

$$\Pr\{\bar{E} = E(r_{\min})\} \rightarrow \frac{1}{|D_0|}, \quad T \rightarrow 0$$

能量最低状态



非能量最低状态



观察四个能量点 $x=1,2,3,4$

$$p(x) = \frac{1}{q(t)} \exp\left(-\frac{x}{t}\right)$$

$$q(t) = \sum_{x=1}^4 \exp\left(-\frac{x}{t}\right)$$

在 $t=20,5,0.5$ 三个温度点概率的变化。

	$x=1$	$x=2$	$x=3$	$x=4$
$t=20$	0.269	0.256	0.243	0.232
$t=5$	0.329	0.269	0.221	0.181
$t=0.5$	0.865	0.117	0.016	0.002

组合优化问题同金属物体退火类比

组合优化问题

金属物体

解

状态

最优解

能量最低的状态

费用函数

能量

模拟退火算法：

STEP1 任选一个初始解 i_0 ； $i := i_0$ ； $k:=0$ ； $t_0 := t_{\max}$ （初始温度）；

STEP2 若在该温度达到内循环停止条件，则到 STEP3； 否则，从邻域 $N(i)$ 中随机选一 j ，计算 $\Delta f_{ij} = f(j) - f(i)$ ； 若 $\Delta f_{ij} \leq 0$ ，则 $i := j$ ，否则若 $\exp(-\frac{\Delta f_{ij}}{t_k}) > \text{random}(0,1)$ 时，则 $i := j$ ； 重复 STEP2；

STEP3 $t_{k+1} := d(t_k)$ ； $k:=k+1$ ； 若满足停止条件，终止计算； 否则，回到 STEP2。

模拟退火算法的数学模型描述

从*i*到*j*的产生概率(generation probability) ——
STEP2中从邻域*N(i)*中随机选一*j*

$$G_{ij}(t) = \begin{cases} 1/|N(i)|, & j \in N(i), \\ 0, & j \notin N(i). \end{cases}$$

接受概率(acceptance probability) ——STEP2中产生状态*j*后, 接受*j*的概率

$$A_{ij}(t) = \begin{cases} 1, & f(i) \geq f(j), \\ \exp(-\Delta f_{ij}/t), & f(i) < f(j). \end{cases}$$

- * 数学模型：在给定邻域结构后，模拟退火过程是从一个状态到另一个状态不断地随机游动，可以用马尔可夫(Markov)链描述这一过程。对给定的温度 t ，两个状态的转移概率(transition probability)定义为：

$$p_{ij}(t) = \begin{cases} G_{ij}(t)A_{ij}(t), & \forall j \neq i, \\ 1 - \sum_{l=1, l \neq i}^{|D|} G_{il}(t)A_{il}(t), & j = i, \end{cases}$$

模拟退火算法主要可以分为两类。第一类为时齐算法，基本计算框架为：对每一个固定的 t ，计算对应的马尔可夫链，直至达到一个稳定状态，然后再让温度下降。第二类为非时齐算法，基本计算框架为：由一个马尔可夫链组成，要求在两个相邻的转移中，温度 t 是下降的。

马尔可夫链应满足的条件

- * 可达性。无论起点如何，任何一个状态都可以到达。这样使我们有得到最优解的可能，
- * 渐近不依赖起点。由于起点的选择有非常大的随机性，我们的目的是达到全局最优，因此，应渐近的不依赖起点。
- * 分布稳定性。包含两个内容：其一是当温度不变时，其马尔可夫链的极限分布存在；其二是当温度渐近0时，其马尔可夫链也有极限分布。
- * 收敛到最优解。当温度渐近0时，最优状态的极限分布和为1。

理论证明的主要思路

- * 模拟退火算法归结为马氏链
- * 寻求马氏链已有的结果

定理 非周期、不可约且时齐的马氏链是正常返的充分必要条件：

存在唯一平稳分布 $\{v_j \mid j = 1, 2, \dots\}$ ，满足

$$v_j = \sum_{i=1}^{\infty} v_i p_{ij}^{(n)} = \sum_{i=1}^{\infty} v_i p_{ij}, \quad v_j = \lim_{n \rightarrow \infty} p_{ij}^{(n)} = \frac{1}{u_j} > 0,$$

其中,
$$u_j = \sum_{n=1}^{\infty} n f_{jj}^{(n)},$$

$f_{jj}^{(n)}$ 为从状态j出发经过n步第一次回到j的概率。

- * 什么是非周期、不可约和正常返？
- * 在什么样的条件下，一步转移概率

$$p_{ij}(t) = \begin{cases} G_{ij}(t)A_{ij}(t), & \forall j \neq i, \\ 1 - \sum_{l=1, l \neq i}^{|D|} G_{il}(t)A_{il}(t), & j = i, \end{cases}$$

满足是非周期、不可约和正返的条件？

温度趋于0时，在什么样的条件下，可以达到全局最优？

非时齐算法又有怎样的结果？

全概公式和条件概率公式

- * 设 $\Omega = A_1 \cup A_2 \cup \dots \cup A_n$ 且 $A_i \cap A_j = \emptyset$, 则
- * $p(A | B) = p(AB) / p(B)$
- * $P(B) = p(B | A_1)p(A_1) + p(B | A_2)p(A_2) + \dots + p(B | A_n)p(A_n)$

3.2.马尔可夫链

随机变量序列 $\{X(k)\}_{k=0,1,2,\dots}$

$X(k) = i$ 称在时刻 k 处于状态 i , $i \in D$ 。

D: 状态空间。当**D**中的状态数有限时, 有限状态空间。

马尔可夫链(简称马氏链)具有记忆遗忘特性:

$$\begin{aligned} P\{X(n) = j \mid X(1) = i_1, X(2) = i_2, \dots, X(n-2) = i_{n-2}, X(n-1) = i\} \\ = P(X(n) = j \mid X(n-1) = i), \quad i_1, i_2, \dots, i_{n-2}, i, j \in D \end{aligned}$$

简记 $p_{ij}(n-1) = P(X(n) = j \mid X(n-1) = i),$

一步转移概率矩阵 $P(n-1) = \left(p_{ij}(n-1) \right)_{|D| \times |D|}$

时齐(homogeneous)马氏链

$$p_{ij}(n-1) = p_{ij}(n), \quad \forall n$$

例：模拟退火对应的马氏链为时齐的

$$p_{ij}(t) = \begin{cases} G_{ij}(t)A_{ij}(t), & \forall j \neq i, \\ 1 - \sum_{l=1, l \neq i}^{|D|} G_{il}(t)A_{il}(t), & j = i, \end{cases}$$

$$G_{ij}(t) = \begin{cases} 1/|N(i)|, & j \in N(i), \\ 0, & j \notin N(i). \end{cases} \quad A_{ij}(t) = \begin{cases} 1, & f(i) \geq f(j), \\ \exp(-\Delta f_{ij}/t), & f(i) < f(j). \end{cases}$$

n 步转移概率 $p_{ij}^{(n)} = P(X(n) = j \mid X(0) = i),$

若存在 n ，使得 $p_{ij}^{(n)} > 0$ ，则称状态 i 可达状态 j ，记成 $i \rightarrow j$ 。若状态 i 和状态 j 满足 $i \rightarrow j$ 且 $j \rightarrow i$ ，则称状态 i 和状态 j 相通，记成 $i \leftrightarrow j$ 。

定理 若 $i \rightarrow j$ ， $j \rightarrow k$ ，则 $i \rightarrow k$ 。

证明：由 $i \rightarrow j$ ，则存在 n ，使得 $p_{ij}^{(n)} > 0$ 。由 $j \rightarrow k$ ，则存在 m ，使得 $p_{jk}^{(m)} > 0$ 。

$$\begin{aligned} p_{ik}^{(m+n)} &= P(X(n+m) = k \mid X(0) = i) \\ &= \sum_{l=0}^{\infty} P(X(m+n) = k, X(n) = l \mid X(0) = i) \\ &= \sum_{l=0}^{\infty} P(X(m+n) = k \mid X(n) = l, X(0) = i) P(X(n) = l \mid X(0) = i) \\ &= \sum_{l=0}^{\infty} P(X(m) = k \mid X(0) = l) P(X(n) = l \mid X(0) = i) \\ &\geq p_{ij}^{(n)} p_{jk}^{(m)} > 0 \end{aligned}$$

定义：从*i*到达*j*首达时刻的随机变量

$$T_{ij} = \min\{n \mid X(0) = i, X(n) = j, n \geq 1\},$$

它的概率为

$$\begin{aligned} f_{ij}^{(n)} &= P(T_{ij} = n \mid X(0) = i) \\ &= P(X(n) = j, X(m) \neq j, m = 1, 2, \dots, n-1 \mid X(0) = i). \end{aligned}$$

迟早到达概率

$$f_{ij} = \sum_{n=1}^{\infty} f_{ij}^{(n)}$$

定理 $f_{ij} > 0$ 的充分必要条件是 $i \rightarrow j$ 。

“充分性”

$$\begin{aligned} p_{ij}^{(n)} &= P\{X(n) = j \mid X(0) = i\} = P\{T_{ij} \leq n, X(n) = j \mid X(0) = i\} \\ &= \sum_{l=1}^n P\{T_{ij} = l, X(n) = j \mid X(0) = i\} \\ &= \sum_{l=1}^n P\{T_{ij} = l \mid X(0) = i\} P\{X(n) = j \mid T_{ij} = l, X(0) = i\} \\ &= \sum_{l=1}^n P\{T_{ij} = l \mid X(0) = i\} P\{X(n) = j \mid X(l) = j, X(l-1) \neq j, \dots, X(1) \neq j, X(0) = i\} \\ &= \sum_{l=1}^n P\{T_{ij} = l \mid X(0) = i\} P\{X(n) = j \mid X(l) = j\} \\ &= \sum_{l=1}^n f_{ij}^{(l)} p_{jj}^{(n-l)}, \end{aligned}$$

当 $p_{ij}^{(n)} > 0$ 时，至少有一个 l 使得 $f_{ij}^{(l)} > 0$ ，由此，得 $f_{ij} > 0$ 。

$$T_{ij} = \min\{n \mid X(0) = i, X(n) = j, n \geq 1\},$$

必要性 若 $f_{ij} > 0$ ，则存在 n ，使得 $f_{ij}^{(n)} > 0$ ，得到

$$p_{ij}^{(n)} \geq f_{ij}^{(n)} p_{jj}^{(0)} = f_{ij}^{(n)} > 0。$$

当 $f_{ii} = 1$ 时，状态 i 称为常返的，当 $f_{ii} < 1$ 时称为非常返的。

定理 状态 j 是常返的，则以概率 1，系统无穷次返回状态 j 。状态 j 是非常返的，则以概率 1，系统只有有限次返回状态 j 。

证明：记 $A_{ij}(m)$ 表示自状态 i 出发，系统通过 j 状态至少 m 次的概率。

记 $Y_{ij}(m)$ 为从状态 i 出发通过 j 状态至少 m 次的随机变量。

$$\begin{aligned} A_{ij}(m+1) &= \sum_{l=1}^{\infty} P(T_{ij} = l, Y_{jj}(m) | X(0) = i) = \sum_{l=1}^{\infty} P(Y_{jj}(m) | T_{ij} = l) P(T_{ij} = l | X(0) = i) \\ &= \sum_{l=1}^{\infty} A_{jj}(m) f_{ij}^{(l)} = A_{jj}(m) f_{ij}, \quad A_{jj}(m) = A_{jj}(0) (f_{jj})^m = f_{jj}^m \end{aligned}$$

$$A_{ij}(m+1) = f_{ij} (f_{jj})^m \quad A_{jj}(m+1) \rightarrow \begin{cases} 1, & f_{jj} = 1, \\ 0, & f_{jj} < 1, \end{cases} \quad (m \rightarrow \infty)。$$

定义
$$u_i = \sum_{n=1}^{\infty} n f_{ii}^{(n)}$$

当 $u_i < \infty$ 时为正返，当 $u_i = \infty$ 时为零返。

如果 $p_{ii}^{(n)}$ 除 $n=t, 2t, 3t, \dots$ 外均为 0，且 $t(t>1$ 正整数)是满足条件的最大整数，称状态 i 具有周期(periodic) t 。

不存在周期状态的Markov链称为非周期的。非周期的正常返状态称为遍历状态。

一个集合 C 是闭集的定义为： $\forall i \in C, j \notin C$ ，有 $p_{ij}^{(n)} = 0$ 。

对任意 n 成立。等价 $p_{ij}=0 \forall i \in C, j \notin C$ ，除整个状态空间外，没有别的闭集的马氏链称为不可约的马氏链

$$P = \begin{pmatrix} 0 & 1 \\ 1 & 0 \end{pmatrix}, P^2 = \begin{pmatrix} 0 & 1 \\ 1 & 0 \end{pmatrix}^2 = \begin{pmatrix} 1 & 0 \\ 0 & 1 \end{pmatrix}, P^3 = \begin{pmatrix} 0 & 1 \\ 1 & 0 \end{pmatrix}, P^4 = \begin{pmatrix} 1 & 0 \\ 0 & 1 \end{pmatrix}$$

$$P = \begin{pmatrix} 0 & 1 & 0 \\ 1 & 0 & 0 \\ \frac{1}{3} & \frac{1}{3} & \frac{1}{3} \end{pmatrix} \quad \begin{array}{l} i = 1, t = 2 \\ i = 2, t = 2 \\ i = 3, t = 1 \end{array}$$

常返、非常返、正返、零返概念理解

当 $f_{ii} = \sum_{n=1}^{\infty} f_{ii}^{(n)} = 1$ 时，状态 i 称为常返的，当 $f_{ii} < 1$ 时称为非常返的。

当 $u_i = \sum_{n=1}^{\infty} n f_{ii}^{(n)} < \infty$ 时为正返，当 $u_i = \infty$ 时为零返。

- * 常返与正返为两个不同的评价指标：经常回来和平均步数。
- * 常返和非常返：是能否经常回来！
- * 正返和零返：回到状态 i 的平均步数。
- * 非常返可以正返！（宅客）
- * 常返和非常返可以零返！（不孝顺的出国客）

简单例子

$$P = \begin{pmatrix} 0 & 1 & 0 \\ 1 & 0 & 0 \\ \frac{1}{3} & \frac{1}{3} & \frac{1}{3} \end{pmatrix}$$

- * 状态空间 $C = \{1, 2, 3\}$.
- * C 可约! $C_1 = \{1, 2\}$ 为一个闭集, C 为闭集。
- * 状态3: 非常返 $f_{33} = 1/3 < 1$, 正返 $u_i = 1/3$. 非周期。
- * 状态1: 常返 $f_{11} = f^{(2)}_{11} = 1$, 正返 $u_i = 2$.
- * 状态1, 2: 周期2

* 状态3

$$* f_{33} = f_{33}^{(1)} + f_{33}^{(2)} + f_{33}^{(3)} + \dots = 1/3$$

$$* f_{33}^{(1)} = p(X(1)=3 | X(0)=3) = 1/3$$

$$* f_{33}^{(2)} = p(X(2)=3, X(1) \neq 3 | X(0)=3) = 0$$

$$* f_{33}^{(3)} = p(X(3)=3, X(2) \neq 3, X(1) \neq 3 | X(0)=3) = 0$$

$$* u_3 = 1 * f_{33}^{(1)} + 2 * f_{33}^{(2)} + 3 * f_{33}^{(3)} + \dots = 1/3$$

* 状态1: $f_{11} = f_{11}^{(1)} + f_{11}^{(2)} + f_{11}^{(3)} + \dots = 1$

$$* f_{11}^{(1)} = p(X(1)=1 | X(0)=1) = 0$$

$$* f_{11}^{(2)} = p(X(2)=1, X(1) \neq 1 | X(0)=1) = 1$$

$$* f_{11}^{(3)} = p(X(3)=1, X(2) \neq 1, X(1) \neq 1 | X(0)=1) = 0$$

$$* u_1 = 1 * f_{11}^{(1)} + 2 * f_{11}^{(2)} + 3 * f_{11}^{(3)} + \dots = 2$$

* 状态2同状态1.

定理 不可约、有限状态且时齐的马氏链是正常返的。

平稳分布(stationary distribution):

概率分布 $\{v_j \mid j = 1, 2, \dots\}$ ，即 $v_j \geq 0, j = 1, 2, \dots$ ， $\sum_{j=1}^{\infty} v_j = 1$ ，如果对马氏链的一步转移

概率阵 $P = (p_{ij})$ 满足 $v_j = \sum_{i=1}^{\infty} v_i p_{ij}$ ，则称 $\{v_j \mid j = 1, 2, \dots\}$ 为马氏链的平稳分布。

定理 非周期、不可约且时齐的马氏链是正常返的充分必要条件：存在唯一平稳分布 $\{v_j \mid j = 1, 2, \dots\}$ ，满足

$$v_j = \sum_{i=1}^{\infty} v_i p_{ij}^{(n)} = \sum_{i=1}^{\infty} v_i p_{ij}, \quad v_j = \lim_{n \rightarrow \infty} p_{ij}^{(n)} = \frac{1}{u_j} > 0,$$

其中，

$$u_j = \sum_{n=1}^{\infty} n f_{jj}^{(n)} > 0$$

时齐马氏链的一些条件

定理 有限状态的时齐马氏链是不可约的一个充分条件为：

任给两个状态 i 和 j ，存在 n ，使得 $p_{ij}^{(n)} > 0$ 。

证明：由条件，状态空间的任何一个真子集不形成闭集。反证法。

若形成闭集，则存在 C 和 $j \notin C$ ，使得 $\forall i \in C, j \notin C$ ， i 与 j 是

不可达的，即 $p_{ij}^{(n)} = 0$ ，对任意 n 成立。这与条件矛盾。因此，

整个状态空间为一个闭集，是不可约的。

定理 若 i 和 j 相通，则它们或同为非周期的或同为周期的。

证明：由 $i \leftrightarrow j$ ，存在 $n \geq 1$ 和 $l \geq 1$ ，使得 $p_{ij}^{(n)} = a > 0$ 和 $p_{ji}^{(l)} = b > 0$ 。可得：

$$p_{ii}^{(l+m+n)} \geq p_{ij}^{(n)} p_{jj}^{(m)} p_{ji}^{(l)} = abp_{jj}^{(m)},$$

$$p_{jj}^{(l+m+n)} \geq p_{ji}^{(l)} p_{ii}^{(m)} p_{ij}^{(n)} = abp_{ii}^{(m)}.$$

再由周期的定义，若 i 的周期为 t ，存在 m 是 t 的倍数，使得 $p_{ii}^{(m)} > 0$ 。得到

$$p_{ii}^{(l+n)} \geq p_{ij}^{(n)} p_{jj}^{(0)} p_{ji}^{(l)} = ab > 0,$$

则 $l+n$ 是 t 的倍数，得 $p_{jj}^{(l+m+n)} > 0$ 。当 m 不是 t 的倍数时，由 $l+n$ 是 t 的倍数，得 $l+m+t$ 不是 t 的倍数，得 $p_{jj}^{(m)} = 0$ 。总结上面的讨论， $l+n$ 是 t 的倍数， m 不是 t 的倍数时得 $p_{jj}^{(m)} = 0$ ，故状态 j 是周期的，其周期不小于 t 。同法，当 j 是周期的，可知 i 是周期的。于是，它们或同为周期的或同不是周期的。

时齐算法应该具有的性质

第一，在每一个给定的温度 t ，给出一步转移概率 $p_{ij}(t)$ 的一些限定条件，得到平稳分布概率

$$v_j(t) = \lim_{n \rightarrow \infty} p_{ij}^{(n)}(t) = \lim_{n \rightarrow \infty} P(X(n, t) = j \mid X(0, t) = i) = \frac{1}{u_j} > 0,$$

其中， $X(n, t)$ 表示在温度 t 时，马氏链第 n 步运动的随机变量。

第二，给出平稳分布应该满足的条件，使得：当温度渐近达到零度时，平稳分布的极限存在，即要求 $\pi_j = \lim_{t \rightarrow 0} v_j(t)$ 。

第三，进一步要求平稳分布的极限具有全局最优性条件

$$\pi_j = \begin{cases} \frac{1}{|D_{OPT}|}, & j \in D_{OPT}, \\ 0, & j \in D \setminus D_{OPT}, \end{cases} \quad \text{其中 } D_{OPT} \text{ 为最优状态集合。}$$
$$\lim_{t \rightarrow 0} \{ \lim_{n \rightarrow \infty} P(X(n, t) \in D_{OPT}) \} = 1$$

定理 非周期、不可约且时齐的马氏链是正常返的充分必要条件：存在唯一平稳分布 $\{v_j \mid j = 1, 2, \dots\}$ ，满足

$$v_j = \sum_{i=1}^{\infty} v_i p_{ij}^{(n)} = \sum_{i=1}^{\infty} v_i p_{ij} , \quad v_j = \lim_{n \rightarrow \infty} p_{ij}^{(n)} = \frac{1}{u_j} > 0 ,$$

其中，

$$u_j = \sum_{n=1}^{\infty} n f_{jj}^{(n)}$$

定理 有限状态的时齐马氏链是不可约的一个充分条件为：

任给两个状态 i 和 j ，存在 n ，使得 $p_{ij}^{(n)} > 0$ 。

定理 不可约、有限状态且时齐的马氏链是正常返的。

定理 若 i 和 j 相通，则它们或同为非周期的或同为周期的。

3.3 时齐算法的收敛性

定理 时齐算法的马氏链是不可约一个充分条件为:

$$\forall i, j, t, \text{ 有 } A_{ij}(t) > 0,$$

且存在 $q \geq 1, l_0, l_1, \dots, l_q \in D, l_0 = i, l_q = j$, 使得

$$G_{l_k l_{k+1}}(t) > 0, k = 0, 1, \dots, q-1。$$

证明：当 t 是给定时，对应的是有限的时齐马氏链，又由

$$\begin{aligned} p_{ij}^{(q)} &\geq p_{l_0 l_1} p_{l_1 l_2} \cdots p_{l_{q-1} l_q} \\ &= A_{l_0 l_1}(t) G_{l_0 l_1}(t) A_{l_1 l_2}(t) G_{l_1 l_2}(t) \cdots A_{l_{q-1} l_q}(t) G_{l_{q-1} l_q}(t) \\ &> 0, \end{aligned}$$

所以， i 可达 j 。同理可证 j 可达 i 。证明不可约结论成立。

定理 对给定的 $t > 0$ ，若存在 $i \neq j \in D$ ，使得

$0 < A_{ij}(t) < 1, G_{ij}(t) > 0$ ，则不可约的马氏链是非周期的。

证明：

$$p_{ii}(t) = 1 - \sum_{l=1, l \neq i}^{|D|} A_{il}(t) G_{il}(t)$$

$$= 1 - \sum_{l=1, l \neq i, j}^{|D|} A_{il}(t) G_{il}(t) - A_{ij}(t) G_{ij}(t)$$

$$> 1 - \sum_{l=1, l \neq i, j}^{|D|} G_{il}(t) - G_{ij}(t)$$

$$= 1 - \sum_{l=1, l \neq i}^{|D|} G_{il}(t)$$

$$= G_{ii}(t) \geq 0,$$

此时， $p_{ii}(t) > 0$ ，于是，对任意状态 i 是非周期的。结论成立。

定理 若 $A(t)$ 和 $G(t)$ 满足:

(1) $G(t)$ 与 t 无关;

(2) $\forall i, j \in D$, 都有 $G_{ij} = G_{ji}$ 且存在 $q \geq 1, l_0, l_1, \dots, l_q \in D, l_0 = i, l_q = j$, 使得

$$G_{l_k l_{k+1}}(t) > 0, k = 0, 1, \dots, q-1;$$

(3) $\forall i, j, k \in D, f(i) \leq f(j) \leq f(k)$, 都有 $A_{ik}(t) = A_{ij}(t)A_{jk}(t)$;

(4) $\forall i, j \in D, f(i) \geq f(j)$, 都有 $A_{ij}(t) = 1$;

(5) $\forall i, j \in D, t > 0, f(i) < f(j)$, 都有 $0 < A_{ij}(t) < 1$;

则模拟退火的时齐算法对应的马氏链有平稳分布 $v = (v_1, v_2, \dots, v_{|D|})$, 满足

$$v_i(t) = \frac{A_{i_0 i}(t)}{\sum_{j \in D} A_{i_0 j}(t)}, \forall i \in D, \quad \text{其中, } i_0 \in D_{OPT}。$$

证明：由(4)和(5)得到 $\forall i, j, t$ 有 $A_{ij}(t) > 0$ 。再由(1)、(2)和知时齐算法对应的马氏链是不可约的。当目标函数的所有值相同时，每一个解为最优解。否则，目标函数值不为一个值，选一个最优解和一个非最优解，由(2)推导出有限时齐的马氏链是非周期的。因此，平稳分布存在且唯一。现只需验证概率分布满足平稳分布的定义。

$$\begin{aligned}
 & \sum_j v_j(t) p_{ji}(t) \\
 &= \sum_{j \neq i, f(j) \leq f(i)} \frac{1}{K} A_{i_0 j}(t) G_{ji} A_{ji}(t) + \sum_{j \neq i, f(j) > f(i)} \frac{1}{K} A_{i_0 j}(t) G_{ji} A_{ji}(t) + v_i(t) p_{ii}(t) \\
 &= \sum_{j \neq i, f(j) \leq f(i)} \frac{1}{K} A_{i_0 i}(t) G_{ij} + \sum_{j \neq i, f(j) > f(i)} \frac{1}{K} A_{i_0 j}(t) G_{ij} + v_i(t) p_{ii}(t) \\
 &= v_i(t) \sum_{j \neq i, f(j) \leq f(i)} G_{ij} + \sum_{j \neq i, f(j) > f(i)} v_j(t) G_{ij} + v_i(t) p_{ii}(t),
 \end{aligned}$$

$$= v_i(t) \sum_{j \neq i, f(j) \leq f(i)} G_{ij} + \sum_{j \neq i, f(j) > f(i)} v_j(t) G_{ij} + v_i(t) p_{ii}(t),$$

$$\begin{aligned} v_i(t) p_{ii}(t) &= v_i(t) \left(1 - \sum_{j \neq i, f(j) \leq f(i)} A_{ij}(t) G_{ij} - \sum_{j \neq i, f(j) > f(i)} A_{ij}(t) G_{ij} \right) \\ &= v_i(t) - v_i(t) \sum_{j \neq i, f(j) \leq f(i)} G_{ij} - \sum_{j \neq i, f(j) > f(i)} \frac{1}{K} A_{i_0 i}(t) A_{ij}(t) G_{ij} \\ &= v_i(t) - v_i(t) \sum_{j \neq i, f(j) \leq f(i)} G_{ij} - \sum_{j \neq i, f(j) > f(i)} v_j(t) G_{ij}, \end{aligned}$$

$$v_i(t) = \sum_j v_j(t) p_{ji}(t)$$

$$p_{ij}(t) = \begin{cases} G_{ij}(t)A_{ij}(t), & \forall j \neq i, \\ 1 - \sum_{l=1, l \neq i}^{|D|} G_{il}(t)A_{il}(t), & j = i, \end{cases}$$

$$A_{ij}(t) = \begin{cases} 1, & f(i) \geq f(j), \\ \exp(-\Delta f_{ij}/t), & f(i) < f(j). \end{cases}$$

$A_{ij}(t)$ 满足(3)(4)(5)

$$G_{ij}(t) = \begin{cases} \frac{1}{L}, & \forall j \in N(i), \\ 0, & j \notin N(i), \end{cases}$$

满足(1)和(2)

$$G_{ij}(t) = \begin{cases} \frac{1}{|N(i)|}, & j \in N(i), \\ 0, & j \notin N(i). \end{cases}$$

不一定满足(2)

定理 在满足上定理五条件的基础上，若

$$\forall i, j \in D, f(i) < f(j) \Rightarrow \lim_{t \rightarrow 0} A_{ij}(t) = 0, \quad \text{则有}$$

$$\lim_{t \rightarrow 0} v_i(t) = \begin{cases} \frac{1}{|D_{OPT}|}, & i \in D_{OPT}, \\ 0, & i \in D \setminus D_{OPT}^{\circ} \end{cases}$$

定理 若 $A_{ij}(t), G_{ij}(t)$ 满足除(2)以外的四个条件，且任何两个状态

i 和 j 或相互为邻居或不为，且 $G_{ij}(t)$ 满足

$$\forall i \in D, G_{ij} = \begin{cases} \frac{1}{|N(i)|}, & j \in N(i), \\ 0, & j \notin N(i), \end{cases} \quad \text{状态空间 } D \text{ 对邻域连通。}$$

则平稳分布是

$$v_i(t) = \frac{|N(i)| A_{i_0 i}(t)}{\sum_{j \in D} |N(j)| A_{i_0 j}(t)}, \forall i \in D。$$

例 四个状态 1, 2, 3, 4 的邻居分别为

$$N(1)=\{1,2\}, N(2)=\{1,2,3,4\}, N(3)=\{2,3,4\}, N(4)=\{2,3,4\}。$$

很容易验证，它们满足或互为邻居或互不为邻居的假设。需要注意：不满足

$$G_{ij} = G_{ji}, \text{ 如 } G_{12} = \frac{1}{2} \text{ 和 } G_{21} = \frac{1}{4}。$$

其他结果

Aarts E H L, van Laarhoven P J M. Simulated Annealing: Theory and Application. Dordrecht: D Reidel Publishing Company, 1987

发生概率为： $\exists |D| \times |D|$ 矩阵 Q 满足 平稳分布

$$\forall i, j \in D: Q_{ij} = Q_{ji};$$

$$\forall i \in D, j \in N(i): G_{ij} = \frac{Q_{ij}}{\sum_{l \in D} Q_{il}} \quad v_i(t) = \frac{(\sum_l Q_{il}) A_{i_0 i}(t)}{\sum_{j \in D} (\sum_l Q_{jl}) A_{i_0 j}(t)}, \forall i \in D。$$

Ackley et al (1985)的接受概率为

$$A_{ij}(t) = (1 + \exp(-\frac{f(j) - f(i)}{t}))^{-1}$$

平稳分布

$$v_i(t) = \frac{\exp(-\frac{f(i) - f_{OPT}}{t})}{\sum_{j \in D} \exp(-\frac{f(j) - f_{OPT}}{t})}, \forall i \in D。$$

以模拟退火算法谈学习方法

- * 博：广泛了解数学知识，哪怕一知半解。
- * 大：有大的野心，大的目标，做大的工作。
- * 精：“精”的数学基础，“精”的个人学习能力，“精”准理解。
- * 深：结合问题给出“深入”的结果。“深入”探讨。

3.4 非时齐算法收敛性简介

* 一步转移概率的形式为：

$$\begin{aligned} p_{ij}(k-1, k) &= P(X(k) = j \mid X(k-1) = i) \\ &= \begin{cases} G_{ij}(t_k)A_{ij}(t_k), & \forall j \neq i, \\ 1 - \sum_{l=1, l \neq i}^{|D|} G_{il}(t_k)A_{il}(t_k), & j = i, \end{cases} \end{aligned}$$

$$t_{k-1} \geq t_k, \lim_{k \rightarrow \infty} t_k = 0$$

一步转移概率矩阵为

$$P(k-1, k) = \left(p_{ij}(k-1, k) \right)_{|D| \times |D|}$$

非时齐算法应具有的条件

第一，因为非时齐算法的每步迭代温度在变化，因此需要给出一步转移概率 $p_{ij}(t)$ 的一些限定条件，即需要给出 $A(t_k)$ 和 $G(t_k)$ 的限定条件，使得非时齐马氏链能收敛到一个分布。

第二，温度渐近达到零度，即 $\lim_{k \rightarrow \infty} t_k = 0$ 。

给出保证达到全局最优的温度变化关系。

第三，总体要求 $\lim_{k \rightarrow \infty} P\{X(k, t_k) \in D_{OPT}\} = 1$ 。

定义 若非时齐马氏链满足下列条件，则称为弱遍历(weakly ergodic):

$$\forall i, j, l \in D, m \geq 1,$$

$$\lim_{k \rightarrow \infty} (p_{il}(m, k) - p_{jl}(m, k)) = 0.$$

定义 若存在向量 $v = (v_1, v_2, \dots, v_{|D|})$ ，满足 $\sum_{i=1}^{|D|} v_i = 1, \quad \forall i, v_i \geq 0,$

且

$$\forall i, j \in D, m \geq 1,$$

$$\lim_{k \rightarrow \infty} p_{ij}(m, k) = v_j,$$

则非时齐马氏链称为强遍历(strongly ergodic)。

定理 非时齐的马氏链是强遍历的充分必要条件是马氏链是弱遍历且存在

$V(k) = (v_1(k), v_2(k), \dots, v_{|D|}(k))$ 使得,

$$V(k)P(k-1, k) = V(k), \sum_{i=1}^{|D|} |v_i(k)| = 1, \sum_{k=0}^{\infty} \sum_{i=1}^{|D|} |v_i(k) - v_i(k+1)| < \infty.$$

定理 在温度 t 时, 一步转移概率中的 $A_{ij}(t) = \begin{cases} 1, & f(i) \geq f(j), \\ \exp(-\frac{\Delta f_{ij}}{t}), & f(i) < f(j), \end{cases}$

$$\forall i \in D, G_{ij} = \begin{cases} \frac{1}{|D|}, & j \in N(i), \\ 0, & j \notin N(i), \end{cases} \quad \text{当存在 } k_0 \geq 2, \text{ 使得 } \forall k \geq k_0, t_k \geq \frac{|D| \Delta f_{\max}}{\log k}, \text{ 其}$$

中, $\Delta f_{\max} = \max\{f(i) | i \in D\} - \min\{f(i) | i \in D\}$, 则马氏链 $\{X(t_k)\}_{k=1,2,\dots}$ 为强遍历。

温度下降的最快速度为

$$t_k = \frac{|D| \Delta f_{\max}}{\log k}$$

模拟退火算法：

STEP1 任选一个初始解 i_0 ； $i := i_0$ ； $k := 0$ ； $t_0 := t_{\max}$ （初始温度）；

STEP2 若在该温度达到内循环停止条件，则到 STEP3；否则，从邻域 $N(i)$ 中随机选一 j ，计算 $\Delta f_{ij} = f(j) - f(i)$ ；若 $\Delta f_{ij} \leq 0$ ，则 $i := j$ ，
否则若 $\exp(-\frac{\Delta f_{ij}}{t_k}) > \text{random}(0,1)$ 时，则 $i := j$ ；重复 STEP2；

STEP3 $t_{k+1} := d(t_k)$ ； $k := k+1$ ；若满足停止条件，终止计算；否则，回到 STEP2。

3.5 时齐算法实现的技术问题

- * 解的形式和邻域结构
- * 温度参数的控制 (cooling scheduling)
 - * 初始温度
 - * 温度下降方法
 - * 同一温度迭代次数
 - * 终止温度与规则

解的形式和邻域结构

求 $f(x) = x^2$ 在区域 $0 \leq x \leq 127$ 最大值的实例，其中 x 为整数，采用 0-1 编码表示解，可以表示为

$$S = \begin{pmatrix} 1 & 2 & \cdots & 7 \\ * & * & \cdots & * \end{pmatrix},$$

其中，解 S 的上面一行表示 7 个位置，下面的*是 0-1 码，对应 x 的二进制码，解的一个邻域自然可以构造成

$$N(S) = \{S' \mid S \text{ 是一个 } 0-1 \text{ 码且 } |S - S'| = \sum_{i=1}^7 |s_i - s_i'| \leq k, k \geq 1 \text{ 整数} \}.$$

TSP问题，可采用 n 个城市的一个排序表示问题的一个解。很直观可通过城市间不同位置交换构造邻域。

不可行解的处理?

- * 共同特征

- * 每一个邻域所含的状态个数相同。
- * 解空间中的任何两个状态可达。
- * 由时齐算法的理论，只要接受概率满足一定的条件，一定以概率1收敛到全局最优解。

- * 同样解的表达形式和邻域结构

- * 第一种表示形式应用到 $0 \leq x \leq 100$ 时或背包问题时，可能出现不可行解。
- * 第二种表示形式应用到车间作业问题时，可能会出现死锁现象。

- * 无法保证每个邻域中邻居都是可行解。

- * 怎么办?

常用的两种方法

- * 第一种是罚值法。

- * 将不可行解视为可行解，目标值为一个充分大的数（罚值）。
- * 使得问题转化为上面讨论的两个问题。
- * 原有的方法可以继续使用。
- * 罚值法处理不可行解时，一个主要缺陷是扩大了搜索区域，从而使计算时间增加。

- * 第二种方法是研究解和邻域结构，从理论上保证模拟退火算法以概率1收敛到全局最优解。

- * 要求对问题有相当深入的了解。
- * 其难度比较大。

解表示形式的精简

- * 以TSP的两种解表示形式讨论：图论的0-1表示和城市全排列的差异。

方法 1：TSP 解表示方法：若商人走 (i,j) 弧则 $x_{ij} = 1$ ，否则

$x_{ij} = 0$ 。定义域中一共有 $2^{n(n-1)}$ 个解。

方法 2：TSP 解表示方法：n 个城市的全排列 (i_1, i_2, \dots, i_n) 为 $(1, 2, \dots, n)$ 的一个全排列。

假设每两个节点有弧相连，固定一个城市为始终点，任意一个解用城市的排列表示，则可行解数为 $(n-1)!$ 。若采用对不可行解采用罚值法，则将搜索

$2^{n(n-1)} - (n-1)!$ 个不可行解。搜索空间扩大了 $\frac{2^{n(n-1)}}{(n-1)!}$ 倍。

当 $n=5$ 时，扩大倍数 $\frac{2^{n(n-1)}}{(n-1)!} \approx 4.37 \times 10^4$ ，当 $n=10$ 时，扩大倍数

$$\frac{2^{n(n-1)}}{(n-1)!} \approx 3.41 \times 10^{21}。$$

解形式选取注意事项

- * 邻域的构造与计算时间相关
- * 理论分析同实际应用的矛盾
- * 对问题进行较深入的理论研究，构造比较精巧的邻域结构，节省计算时间
- * 在大量的实际应用中，人们关注的是应用的效果，而不去研究问题的结构和收敛性就直接将算法套用于实际问题。
- * 连续优化问题在给定解的精度后可以离散化。

时齐模拟退火算法设计基本原则

- * 初始温度充分高
- * 同一个温度达到每一个状态分布的稳定
- * 温度下降应该足够慢
- * 停止时温度足够低

温度参数的控制——起始温度的选取

- * 起始温度 t_0 应保证平稳分布中每一状态的概率相等。

$$\exp\left(-\frac{\Delta f_{ij}}{t_0}\right) \approx 1$$

$$t_0 = K\Delta_0, \quad K \text{ 充分大的数}$$

$$\Delta_0 = \max\{f(i) \mid i \in D\} - \min\{f(i) \mid i \in D\}$$

* 数值计算估计方法

初始温度数值计算算法

STEP1 给定一个常量 T ；初始温度 t_0 ； χ_0 ； $R_0=0$ ； $k:=1$ ；

STEP2 在这个温度迭代 L 步（ L 为一个给定的常数），分别记录模拟退火算法中接受和被拒绝的状态的个数，计算接受的状态数同迭代步数 L 的比率 R_k ；

STEP3 当 $|R_k - \chi_0| < \varepsilon$ 时，停止计算；否则，当 R_{k-1} 和 $R_k < \chi_0$ 时，则 $k:=k+1$ ， $t_0 := t_0 + T$ ，返

回 STEP2；当 R_{k-1} 和 $R_k \geq \chi_0$ 时，则 $k:=k+1$ ， $t_0 := t_0 - T$ ，返回 STEP2；当 $R_{k-1} \geq \chi_0$ 且 $R_k \leq \chi_0$

时，则 $k:=k+1$ ， $t_0 := t_0 + T/2$ ， $T:=T/2$ ，返回 STEP2；当 $R_{k-1} \leq \chi_0$ 且 $R_k \geq \chi_0$ 时，则 $k:=k+1$ ，

$t_0 := t_0 - T/2$ ，返回 STEP2；

* 统计推断估计的方法

假设 $\{f(i) | i \in D\}$ 是一个大样本空间，且服从正态分布，即 $\{X = f(i) | i \in D\}$ 的密度函数为

$$g(x) = \exp\left(-\frac{(x - \mu)^2}{2\sigma^2}\right)。$$

从状态空间 D 中随机选样本容量为 n 的样本 $\{X_l | l = 1, 2, \dots, n\}$ ，样本均值统计量为

$$\overline{f(X, t)} = \frac{1}{n} \sum_{l=1}^n f(X_l)，$$

样本方差统计量为

$$f^2(X, t) = \frac{1}{n-1} \sum_{l=1}^n (f(X_l) - \overline{f(X, t)})^2。$$

以 3σ 原则，目标值以 99.97% 落入 $(\mu - 3\sigma, \mu + 3\sigma)$ ，简单的区间近似为

$$(\overline{f(X, t)} - 3\sqrt{f^2(X, t)}, \overline{f(X, t)} + 3\sqrt{f^2(X, t)})。$$

估计值为：

$$\Delta_0 = 6\sqrt{f^2(X, t)}$$

时齐算法的温度下降方法

(1) $t_{k+1} = \alpha t_k, k \geq 0$, 其中 $0 < \alpha < 1$ 。 α 越接近 1 温度下降的越慢。

(2) $t_k = \frac{K-k}{K} t_0$, 其中 t_0 为起始温度, K 为算法温度下降的总次数。

(3) 以理论中的平稳分布 $\{v_i(t), i \in D\}$ 为依据, 通过推导而得到。

$$\langle f(t) \rangle = \sum_{i \in D} f(i) v_i(t)$$

$$\overline{f(t)} = \frac{1}{n} \sum_{l=1}^n f(X_l)$$

$$\langle f^2(t) \rangle = \sum_{i \in D} f^2(i) v_i(t)$$

$$\overline{f^2(t)} = \frac{1}{n} \sum_{l=1}^n f^2(X_l)$$

定理 $A(t)$ 和 $G(t)$ 如模拟退火算法中定义, 则

$$(1) \quad \frac{d\langle f(t) \rangle}{dt} = \frac{\langle f^2(t) \rangle - \langle f(t) \rangle^2}{t^2},$$

(2) $\langle f(t) \rangle$ 为变量 t 的单调升函数, 且 $\langle f(t) \rangle \rightarrow f(i_{OPT}), t \rightarrow 0$ 。

(3)当 $i \neq i_{OPT}$ 时, 平稳分布 $v_i(t)$ 在 $t=0$ 的一个邻域内为 t 的单调升函数。

当 $i = i_{OPT}$ 时, 平稳分布 $v_i(t)$ 为 t 的单调减函数。

在相邻温度, 其平稳分布的变化相对稳定。

$$\forall i \in D, \quad \frac{1}{1+\delta} < \frac{v_i(t_k)}{v_i(t_{k+1})} < 1+\delta, k=0,1,\dots$$

$$\exp\left(-\frac{f(i)-f(i_{OPT})}{t_k}\right) < (1+\delta)\exp\left(-\frac{f(i)-f(i_{OPT})}{t_{k+1}}\right)$$

$$t_{k+1}\left(1+\frac{t_k \log(1+\delta)}{f(i)-f(i_{OPT})}\right) > t_k$$

$$t_{k+1} \left(1 + \frac{t_k \log(1 + \delta)}{f(i) - f(i_{OPT})}\right) > t_k$$

$\{f(i) \mid i \in D\}$ 的上下界用 $(-3\sigma(t_k) + \mu(t_k), \mu(t_k) + 3\sigma(t_k))$ 近似。

$$t_{k+1} \left(1 + \frac{t_k \log(1 + \delta)}{6\sigma(t_k)}\right) > t_k$$

$$\sigma^2(t_k) = \overline{f^2(t_k)} - (\overline{f(t_k)})^2$$

$$t_{k+1} = t_k \left(1 + \frac{t_k \log(1 + \delta)}{6\sigma(t_k)}\right)^{-1}$$

Lundy和Mees采用基本相同的想法

$$\forall i \in D : \exp\left(\frac{(f(i) - f(i_{OPT}))(t_k - t_{k+1})}{t_k t_{k+1}}\right) < (1 + \delta)$$

当 U 是一个 $f(i) - f(i_{OPT})$ 的上界, r 是一个充分小的正数, 采用:

$$\frac{t_k - t_{k+1}}{t_k t_{k+1}} = \frac{r}{U}$$

降温规则

$$t_{k+1} = t_k \left(1 + \frac{rt_k}{U}\right)^{-1}$$

时齐算法每一温度的迭代长度规则

- * 固定长度。
- * 由接受和拒绝的比率控制迭代步数。
 - * 当温度很高时，每一个状态被接受的频率基本相同，而且几乎所有的状态都被接受。此时，在同一温度应使迭代的步数尽量小。
 - * 当温度渐渐变低时，越来越多的状态被拒绝。如果在此温度的迭代太少，则可能造成过早地陷入局部最优状态。比较直观和有效的方法是随着温度的下降，将同一温度的迭代步长增加。
 - * 实现的一种方法是给定一个充分大的步长上限 U 和一个接受次数指标 R ，当在给定温度接受次数等于 R 时，在这一温度不再迭代而使得温度下降，否则，一直迭代到上限步数。
- * 概率控制法
 - * 以概率1跳出任何一个局部最优解

设状态 i 是一个局部最优状态, $p_{ii}(t)$ 为 i 状态一步转移不动的概率, n 步

保持不动的概率是 $p_{ii}^n(t)$ 。于是温度 t 时状态 i 不转移的平均次数

$$\tilde{N}_i(t) = \sum_{n=1}^{\infty} n p_{ii}^n = \frac{p_{ii}}{(1-p_{ii})^2} \leq \frac{1}{(1-p_{ii})^2}$$

$$p_{ii}(t) = 1 - \frac{1}{|N(i)|} \sum_{\substack{j \in N(i) \\ j \neq i}} \min\left\{1, \exp\left(-\frac{f(j) - f(i)}{t}\right)\right\}$$

$$\tilde{N}_i(t) \leq \frac{1}{(1-p_{ii})^2} = \frac{|N(i)|^2}{\sum_{\substack{j \in N(i) \\ j \neq i}} \min\left\{1, \exp\left(-\frac{f(j) - f(i)}{t}\right)\right\}^2} \quad \tilde{N}_i(t) \approx \frac{|N(i)|^2}{\min\left\{1, \exp\left(-\frac{f_{\max} - f_{\min}}{t}\right)\right\}^2}$$

当温度较高时, 跳出局部最优的平均次数为 $O(|N(i)|^2)$

当温度变低时, 跳出局部最优的平均次数增加非常快, 增加的速度与 $e^{1/t}$ 同阶。

* 算法的终止原则

- * 零度法。给定一个比较小的正数，当温度低于这个数时，算法停止。表示已经达到最低温度。
- * 循环总数控制法。总的温度下降次数为一定值 K ，当温度迭代次数达到 K 时，停止运算。
- * 基于不改进规则的控制法。
- * 接受概率控制法。

* Lundy和Mees方法

* 给定充分小的正数 δ 和 ε ，在达到终止温度应该满足

$$P(X(k) = i \wedge f(i) > f_{OPT} + \varepsilon \mid t = t_f) < \delta$$

$$P(X(k) = i \wedge f(i) > f_{OPT} + \varepsilon \mid t = t_f) \approx \sum_{i: f(i) > f_{OPT} + \varepsilon} v_i(t)$$

$$< (|D| - 1) \exp\left(-\frac{\varepsilon}{t}\right) < \delta,$$

$$t_f \leq \frac{\varepsilon}{\log(|D| - 1) - \log \delta}$$

3.6 应用案例——下料问题 (cutting stock)

一、相关Bin Packing

- * NP-hard
- * FPTAS
- * Heuristics
 - * Next Fit (NF)
 - * Pack a newly arriving item into a unique, so-called *active* bin. In case item does not fit into the active bin, the active bin is closed (and never used again) and an empty bin is opened and becomes the next active bin.
 - * First-Fit (FF)
 - * put each new item into the lowest indexed bin into which it will fit and start a new bin only if the item will not fit into any non-empty bin.

- * Best Fit (BF)
- * Worst Fit (WF)
- * Almost Worst Fit (AWF)
- * Harmonic Fit (HF)
 - * the items are divided into the categories $(\frac{1}{2}, 1]$, $(\frac{1}{3}, \frac{1}{2}]$, $(\frac{1}{4}, \frac{1}{3}]$, ..., $(\frac{1}{M}, \frac{1}{M-1}]$, $(0, \frac{1}{M}]$ according to their sizes, where M is some appropriately chosen integer constant. Items from each category are packed only with other items in the same category by using the NEXT-FIT method.

算法	NF	WF	FF	BF	AWF	HAR
渐近比 (界)	2	2	1.7	1.7	1.7	1.691

W. Xing and F. Chen, A-Shaped Bin Packing: Worst Case Analysis via Simulation, JIMO, 2005

二、Variants

- * On-line bin packing: 箱子在线, 物品在线
- * Semi-on-line bin packing: 知道部分信息
- * Variable sized bin packing: 箱子尺寸不一样
- * Over-sized bin packing(Xing, 2002): 物品尺寸超过箱子尺寸
- * A-shaped bin packing(Xing and Chen, 2005): 装箱物品有特殊要求
- * Web advertisement bin packing: 有时间间隔和长度要求
 - * R. Bai and J. Xie, Int. J. Inform and Compt Sci. 2006

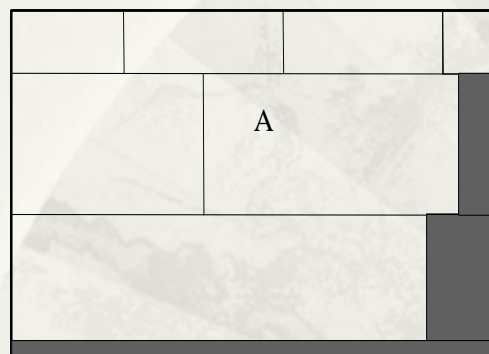
三、应用案例——下料问题 (cutting stock)

- * 存在诸如玻璃、钢板、木材、纸张和制衣等的裁剪问题中。
- * 原料的尺寸大于需求的尺寸，而需求的品种尺寸可以不相同，在满足所有需求的前提下，使得边角废料最小。
- * 二维装箱问题 (**bin packing**)
- * 一维装箱问题的推广，因此，这个优化问题是**NP**难。

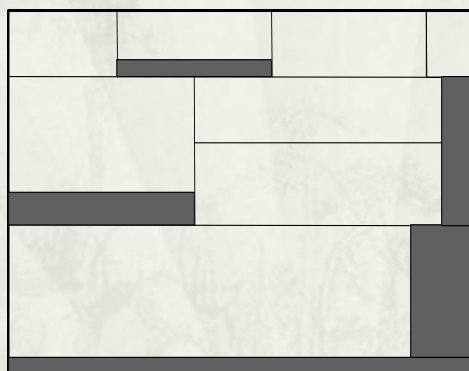
切割方式

* 直线切割(guillotine cutting)

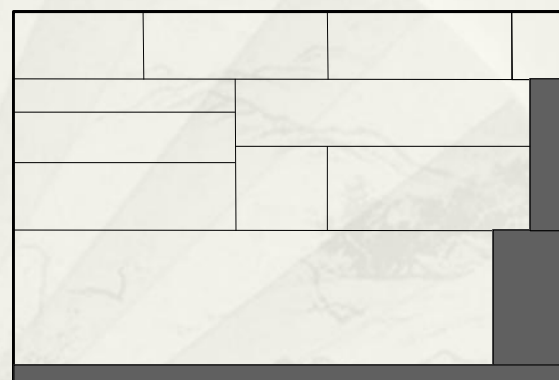
- * 保持切割线平行于原料的一个边线，一切到底，对截开的料继续采用这个规则。



2级切割



3级切割



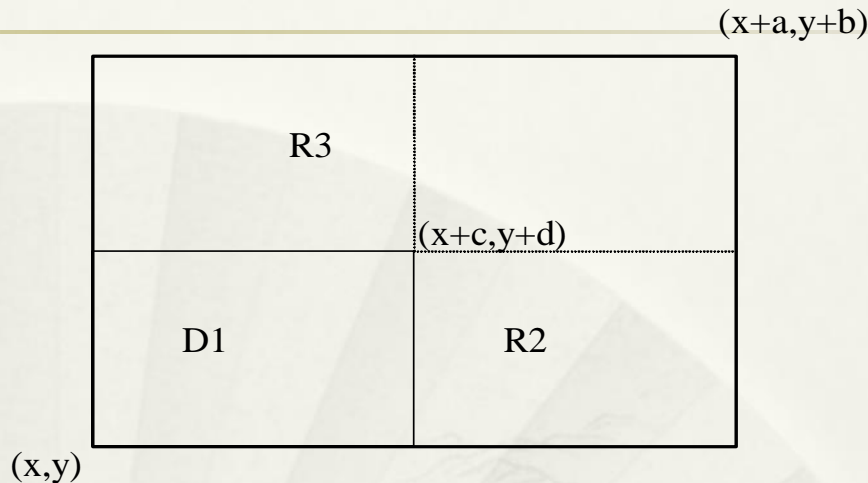
一般切割

套裁



解的表示形式

$$R1 = [(x, y), (x + a, y + b)]$$



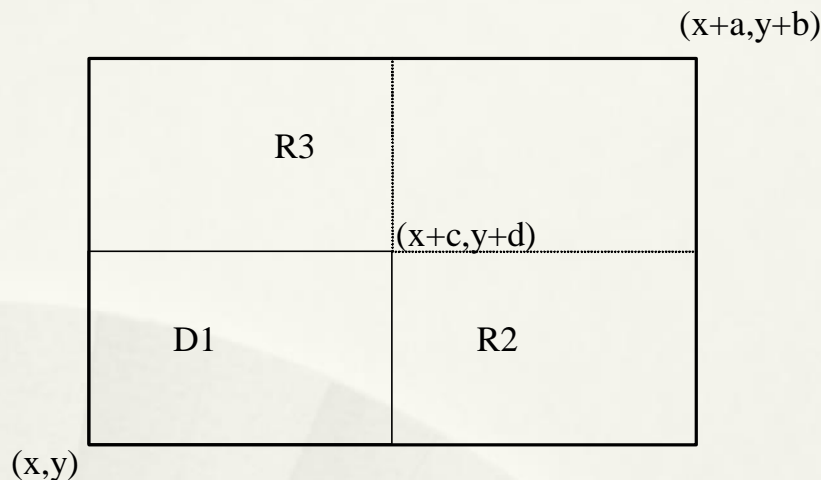
运算1：减法运算

D1的长宽尺寸分别为**c**和**d**，则下料后的剩余矩形为

$$\begin{aligned} & [(x, y), (x + a, y + b)] - [(x, y), (x + c, y + d)] \\ & = \{[(x + c, y), (x + a, y + b)], [(x, y + d), (x + a, y + b)]\}, \end{aligned}$$

$$R2 = [(x + c, y), (x + a, y + b)]$$

$$R3 = [(x, y + d), (x + a, y + b)]$$



运算2: 公共部分运算

$$\begin{aligned} & Com([(x1, y1), (x2, y2)], [(x3, y3), (x4, y4)]) \\ & = [(\max\{x1, x3\}, \max\{y1, y3\}), (\min\{x2, x4\}, \min\{y2, y4\})]。 \end{aligned}$$

$$Com(R2, R3) = [(x + c, y + d), (x + a, y + b)]。$$

继续计算

$$R2 - com(R2, R3) = [(x + c, y), (x + a, y + d)]$$

$$R3 - com(R2, R3) = [(x, y + d), (x + c, y + b)]$$

- * 第一次下料后，出现两块矩形。若再进行一次下料，必须从中选定一块。当选中一块后，将未选用的块用减法运算去除公共部分，下一次还以矩形为原料继续下料。
- * 在第 K 次切割完成后，一共剩余 $K+1$ 个矩形，其中， $K-1$ 个除边界外互不相交，有两块有公共相交部分。
- * 每次下料前，都有若干个独立的矩形和一对带有部分重合的相交矩形。以上的规则可以重复运用。
- * 选哪一块下料？

- * 给定产品的下料顺序，现在必须给出如何从诸多矩形中选择一个，及从何处下料。
- * 料的裁剪方式（横放、竖放）。
- * 依次可以计算余料的大小，即目标值。
- * 优化问题就是确定一个最优的下料序。用模拟退火求解时，其邻域的结构可以模仿TSP中的2-opt来构造，交换两个产品的加工顺序。
- * 问题：能否得到最优解？

下料的启发式规则

- * (1) 给定比较小的正数 ε ，当产品的长或宽同原料的长或宽不超过 ε ，选择满足这样条件的任一块矩形下料。



- * (2) 如果不存在 (1) 的原料，比较原料的长宽之和同产品长宽之和的差值的大小，从中选差值最小的原料。
- * (3) 对给定的数 $\varepsilon > 0$ ，在已下K块产品后，若余下的K+1块矩形原料中有长或宽不超过 ε 的，则删除这些原料块。

实现的技术细节

- * 目标函数采用余料和同总用料的比率。由此可以估计目标值的上界是100%，即所有的料被浪费，下界是0%，表示无浪费。起始温度 $t_0 = K\Delta$ ，其中 $K=100$ ， $\Delta=1$ 。

$$t_{k+1} = t_k (1 + \beta t_k)^{-1} \quad \beta = \frac{t_0 - t_f}{Mt_0 t_f}$$

t_f 为一给定的值， M 是温度可下降的最大次数。

起始温度 $t_0=100$ ， $t_f=10$ ， $M=10,000$ 。除了最多迭代 M 步的停止准则以外，再加上如果边角余料之和不超过开始时原料的5%，则停止计算。

计算结果

* 数据产生的参数

- * 原料分两种尺寸：400×200，400×400。
- * 产品料的种类从5--35个种类
- * 每一类产品料对两种尺寸各生成50个随机数据组。
- * 产生的原则是每组数据一定有余料为零的最优解。

1	5		11	15	
	6			16	
2	7	9	12	17	19
	8			18	
3		10	13		20
4			14		

原料400×200的模拟结果

产品料种类	测试数据组数	平均计算时间 (单位：秒)	达到最优解的组数	平均的迭代步数
5	50	3.8	50	8
10	50	13.0	50	15
15	50	42.0	50	303
20	50	101.5	50	868
25	50	405.2	46	857
30	50	413.0	44	866
35	50	445.3	41	943

原料400×400的模拟结果

产品料种类	测试数据组数	平均计算时间 (单位：秒)	达到最优解 的组数	平均的迭代 步数
5	50	2.3	50	4
10	50	9.3	50	12
15	50	44.0	50	230
20	50	221.0	47	522
25	50	389.3	45	855
30	50	432.1	41	941
35	50	442.0	42	921